

Intégration numérique des EDOs

Gabriel STOLTZ

`gabriel.stoltz@enpc.fr`

(CERMICS, Ecole des Ponts & Equipe-projet MATHEMATICALS, INRIA Paris)

Cours Ecole des Mines, 1ère année, octobre 2017

Un exemple : la dynamique céleste

- Système solaire réduit : Soleil et petites planètes (q_0), Jupiter, Saturne, Uranus, Neptune, Pluton (q_1 à q_5)
- Energie $H(q, p) = V(q) + \sum_{i=1}^N \frac{p_i^2}{2m_i}$ avec $V(q) = - \sum_{0 \leq i < j \leq 5} G \frac{m_i m_j}{|q_i - q_j|}$
- Unités réduites : **masse** du soleil, **longueur** = distance Terre-Soleil, **temps** = 1 jour

Dynamique Hamiltonienne

$$\begin{aligned}\dot{q}_i(t) &= \frac{\partial H}{\partial p_i} = \frac{p_i(t)}{m_i} \\ \dot{p}_i(t) &= -\frac{\partial H}{\partial q_i} = -\nabla_{q_i} V(q(t))\end{aligned}$$

Préservation de l'énergie $H(q(t), p(t)) = H(q_0, p_0)$

→ Notion de stabilité : conservation de l'énergie en temps long

Autres motivations

- Champ de vecteurs $f : \mathbb{R}^d \rightarrow \mathbb{R}^d$, temps $t \geq 0$ (parfois $t \in \mathbb{R}$)

Problème de Cauchy

$$\dot{y}(t) = f(t, y(t)), \quad y(0) = y_0$$

- Applications
 - Intégration de trajectoires (satellites, missiles, ...) : **précision**
 - Dynamique des populations : Lotka-Volterra
 - Cinétique chimique : systèmes **raides**
 - Dynamique Hamiltonienne : comportement en **temps long**
- Extension au cas des
 - **EDPs** (météorologie, mécanique quantique,...)
 - **équations différentielles stochastiques** (finance, phys. stat. num.)

Intégration des équations différentielles ordinaires

- Etude du **problème continu** (“bien posé”)
- Approximation **numérique** par méthodes à un pas
 - Exemples et mise en oeuvre
 - Analyse *a priori* directe : convergence (consistance + stabilité)

consistance + stabilité = convergence

- Compléments
 - Systèmes **linéaires**
 - Influence des **erreurs d'arrondi**
 - **Pas de temps adaptatif** (analyse a posteriori)
 - **Analyse rétrograde**

Etude du problème continu

Existence et unicité des solutions (problème continu)

- Existence **locale** et unicité si f **localement Lipschitz** (Cauchy-Lipschitz)

$$\forall (t, y_1, y_2) \in]t_0 - \tau, t_0 + \tau[\times B(y_0, r)^2 \quad |f(t, y_1) - f(t, y_2)| \leq L|y_1 - y_2|$$

où $|\cdot|$ est une norme sur \mathbb{R}^d (toutes les normes sont équivalentes)

- Si on n'a pas de solution globale, alors $|y(t)| \rightarrow +\infty$ lorsque $t \rightarrow T_{\max}$
- Existence/unicité de la solution **globale** si...
- Stabilité si...

Approximation numérique : théorie générale

Approximation numérique

- Approximation y^n de la solution exacte $y(t_n)$, avec un pas de temps
 - **fixe** $\Delta t > 0$, auquel cas $t_n = n\Delta t$
 - **variable** $\Delta t_n = t_{n+1} - t_n$
 - nombre de pas de temps N ($= T/\Delta t$ dans les cas simples)
- **Méthodes à un pas** : discrétisation de la formulation intégrale par une règle de quadrature → méthodes de **Runge-Kutta**

$$y(t_{n+1}) = y(t_n) + \int_{t_n}^{t_{n+1}} f(s, y(s)) ds$$

Méthode à un pas

$$y^{n+1} = y^n + \Delta t_n \Phi_{\Delta t_n}(t_n, y^n)$$

- Méthodes **multi-pas** (approcher y^n en utilisant y^{n-1}, y^{n-2}, \dots) : plus précise à coût de calcul fixé, mais attention à la **stabilité**

Méthode d'Euler explicite

$$y^{n+1} = y^n + \Delta t_n f(t_n, y^n)$$

- Application $\Phi_{\Delta t_n}$ définie de manière explicite : $\Phi_{\Delta t_n}(t_n, y^n) = f(t_n, y^n)$

Méthode d'Euler implicite

$$y^{n+1} = y^n + \Delta t_n f(t_{n+1}, y^{n+1})$$

- Application $\Phi_{\Delta t_n}$ définie de manière implicite : pour tout (t^n, y^n) , $\Phi := \Phi_{\Delta t_n}(t_n, y^n) = f(t_{n+1}, y^{n+1})$ est solution de

$$\Phi = f(t_{n+1}, y^n + \Delta t_n \Phi)$$

Autres exemples

- Méthodes **explicites**

- Heun : $y^{n+1} = y^n + \frac{\Delta t_n}{2} \left(f(t_n, y^n) + f(t_{n+1}, y^n + \Delta t_n f(y^n)) \right)$

- Méthodes **implicites**

- Trapèzes : $y^{n+1} = y^n + \frac{\Delta t_n}{2} \left(f(t_n, y^n) + f(t_{n+1}, y^{n+1}) \right)$

- Point milieu : $y^{n+1} = y^n + \Delta t_n f \left(\frac{t_n + t_{n+1}}{2}, \frac{y^n + y^{n+1}}{2} \right)$

Un mot sur l'implémentation des schémas implicites

- Beaucoup de “bonnes” méthodes sont implicites (**stabilité accrue**)
- Il faut déjà garantir que la méthode est **bien définie** !
- Exemple du schéma d'Euler implicite $y^{n+1} = y^n + \Delta t_n f(t_{n+1}, y^{n+1})$
 - existence/unicité de y^{n+1} lorsque **$\Delta t_n \Lambda_f(t_{n+1}) < 1$** où

$$\forall y_1, y_2 \in \mathbb{R}^d, \quad |f(t_{n+1}, y_1) - f(t_{n+1}, y_2)| \leq \Lambda_f(t_{n+1}) |y_1 - y_2|$$

- construction numérique de la solution par **itérations de point fixe**
 - condition initiale : schéma explicite $z^{n+1,0} = y^n + \Delta t_n f(t_n, y^n)$
 - itérations selon

$$z^{n+1,k+1} = y^n + \Delta t_n f(t_{n+1}, z^{n+1,k})$$

On a $z^{n+1,k} \xrightarrow[k \rightarrow +\infty]{} y^{n+1}$. En pratique, nombre **fini** d'itérations

Analyse d'erreur : consistance

- **Erreur de troncature locale** = erreur résiduelle si l'on glisse la solution **exacte** dans le schéma

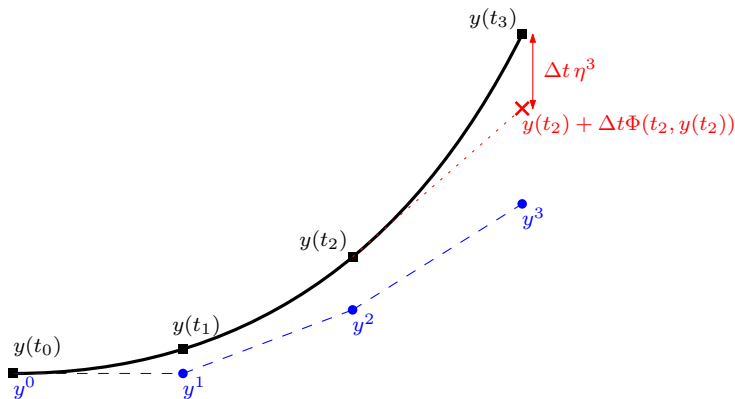
$$\eta^{n+1} := \frac{y(t_{n+1}) - \left(y(t_n) + \Delta t_n \Phi_{\Delta t_n}(t_n, y(t_n)) \right)}{\Delta t_n}$$

- Consistance si $\max_{0 \leq n \leq N-1} |\eta^{n+1}| \rightarrow 0$ lorsque $\Delta t \rightarrow 0$
- Consistance d'ordre p si $\max_{0 \leq n \leq N-1} |\eta^{n+1}| \leq C_y \Delta t^p$
- Preuves : **développements de Taylor** (régularité de la sol. exacte y)
- **Exemple** : le schéma d'Euler explicite est d'ordre 1 ($t = t_n$, $\Delta t = \Delta t_n$)

$$y(t + \Delta t) - \left(y(t) + \Delta t \underbrace{f(t, y(t))}_{=y'(t)} \right) = \Delta t^2 \int_0^1 (1 - \theta) y''(t + \theta \Delta t) d\theta$$

$$\text{D'où } \max_{0 \leq n \leq N-1} |\eta^{n+1}| \leq \left(\frac{1}{2} \sup_{t \in [0, T]} |y''(t)| \right) \Delta t$$

Analyse d'erreur : consistance



Trajectoire exacte $t \mapsto y(t)$ vs. trajectoire numérique y^0, y^1, y^2, \dots

Erreur de consistance = sur un pas, en partant de la trajectoire exacte

Analyse d'erreur : stabilité

Stabilité (Δt fixé pour simplifier)

Il existe une constante $S(T) > 0$ telle que, pour toute suite $z = \{z^n\}_{1 \leq n \leq N}$ partant de la même valeur $z^0 = y^0$ et vérifiant

$$\begin{cases} y^{n+1} = y^n + \Delta t \Phi_{\Delta t}(t_n, y^n) \\ z^{n+1} = z^n + \Delta t \Phi_{\Delta t}(t_n, z^n) + \Delta t \delta^{n+1} \end{cases}$$

on a la majoration $\max_{1 \leq n \leq N} |y^n - z^n| \leq S(T) \Delta t \sum_{n=1}^N |\delta^n|$

- $S(T)$ ne dépend que du **temps de simulation** $T = N\Delta t$ (pas de Δt ou N seuls)

Condition suffisante de stabilité

Supposons $\Phi_{\Delta t}$ **Lipschitzienne** en y

$$|\Phi_{\Delta t}(t, y_1) - \Phi_{\Delta t}(t, y_2)| \leq \Lambda_{\Phi} |y_1 - y_2|$$

- Dans ce cas, $|y^{n+1} - z^{n+1}| \leq (1 + \Lambda_{\Phi} \Delta t) |y^n - z^n| + \Delta t |\delta^{n+1}|$
- **Lemme de Gronwall discret** : suite $0 \leq a^{n+1} \leq (1 + \lambda) a^n + b^{n+1}$ avec $\lambda > 0$, $b^n \geq 0$ et $a^0 = 0$; par récurrence

$$a^n \leq \sum_{k=0}^{n-1} (1 + \lambda)^k b^{n-k} \leq (1 + \lambda)^{n-1} \sum_{l=1}^n b^l$$

Ici, $(1 + \lambda)^{n-1} = (1 + \Lambda_{\Phi} \Delta t)^{n-1} \leq (1 + \Lambda_{\Phi} \Delta t)^N \leq e^{N \Lambda_{\Phi} \Delta t} = e^{\Lambda_{\Phi} T}$

- **Conclusion** : stabilité avec $S(T) = e^{\Lambda_{\Phi} T}$
 - $\Lambda_{\Phi} \simeq$ inverse de la plus petite échelle de temps physique
 - T = temps de simulation

Analyse d'erreur : convergence

- Une méthode est **convergente** si l'erreur globale vérifie

$$\max_{0 \leq n \leq N} |y^n - y(t_n)| \rightarrow 0 \text{ lorsque } \Delta t \rightarrow 0$$

- Principe général de l'étude de convergence
 - erreur **locale** à chaque pas de temps : consistance
 - **accumulation** des erreurs : stabilité

Théorème fondamental (Lax)

Une méthode stable et consistante est convergente

Si la méthode est consistante d'ordre p , alors

$$\max_{0 \leq n \leq N} |y^n - y(t_n)| \leq C \Delta t^p$$

- On peut vérifier ces ordres numériquement **[DEMO]**

Preuve du théorème de Lax

- Prendre pour z^n la solution exacte $y(t_n)$, auquel cas

$$\begin{aligned} z^{n+1} &= y(t_{n+1}) = y(t_n) + \Delta t_n \Phi_{\Delta t_n}(t_n, y(t_n)) + \Delta t_n \eta^{n+1} \\ &= z^n + \Delta t_n \Phi_{\Delta t_n}(t_n, z^n) + \Delta t_n \eta^{n+1} \end{aligned}$$

- Par stabilité avec $\delta^{n+1} = \eta^{n+1}$,

$$e := \max_{1 \leq n \leq N} |y^n - y(t_n)| \leq S(T) \Delta t \sum_{n=1}^N |\eta^n| \leq S(T) T \left(\max_{1 \leq n \leq N} |\eta^n| \right)$$

• Conclusions :

- méthode consistante : $e \leq S(T) T (\max_{1 \leq n \leq N} |\eta^n|) \rightarrow 0$
- méthode consistante d'ordre p :

$$e \leq S(T) \Delta t \sum_{n=1}^N C \Delta t^p = S(T) T C \Delta t^p$$

Compléments

Stabilité des schémas linéaires

- Etude de stabilité pour le schéma linéaire $y^{n+1} = By^n$ avec $B \in \mathbb{R}^{d \times d}$
- On considère les suites

$$\begin{cases} y^{n+1} = By^n \\ z^{n+1} = Bz^n + \Delta t \delta^{n+1} \end{cases}$$

- Par récurrence et linéarité, il vient $y^n - z^n = \Delta t \sum_{k=0}^{n-1} B^k \delta^{n-k}$
- Une condition suffisante de stabilité est

$$|B| \leq 1$$

où $|\cdot|$ désigne une norme sur \mathbb{R}^d et la norme matricielle induite

- On obtient $S = 1$ (à comparer au cas général où S croît exponentiellement avec le temps T)

Systèmes linéaires dissipatifs

- Systèmes linéaires dissipatifs $\dot{y}(t) = -Ay(t)$ avec $A \in \mathbb{R}^{d \times d}$ **positive**
→ pratique d'utiliser la **norme euclidienne** $\|\cdot\|_{\ell^2}$ pour l'étude de stabilité

- Schéma d'Euler implicite $y^{n+1} = y^n - \Delta t A y^{n+1}$, soit

$$y^{n+1} = B_I y^n \text{ avec } B_I := (\text{Id} + \Delta t A)^{-1}$$

- la matrice $\text{Id} + \Delta t A$ est bien inversible car définie positive $\forall \Delta t$
→ stabilité **inconditionnelle** ($\forall \Delta t$)

- Schéma d'Euler explicite $y^{n+1} = y^n - \Delta t A y^n$, soit

$$y^{n+1} = B_E y^n \text{ avec } B_E := \text{Id} - \Delta t A$$

- stabilité **conditionnelle** : $\Delta t \leq 2\gamma$ où, pour A symétrique, γ est l'inverse du rayon spectral de A

Influence des erreurs d'arrondi (1)

- On calcule en fait une **valeur approchée de la solution numérique**
→ **pas trop d'opérations** arithmétiques sinon l'erreur d'arrondi domine
- Trois **sources d'erreurs**
 - condition initiale $\tilde{y}^0 = y^0 + \delta y^0$
 - évaluation de $\Phi(t_n, \tilde{y}^n; \Delta t_n) \rightarrow \rho_n$
 - calcul de la nouvelle position $\rightarrow \sigma_n$

$$\tilde{y}^{n+1} = \tilde{y}^n + \Delta t_n \left(\Phi(t_n, \tilde{y}^n; \Delta t_n) + \rho_n \right) + \sigma_n$$

- On suppose que $|\rho_n| \leq \rho$ et $|\sigma_n| \leq \sigma$.
- Typiquement, $\sigma \sim \varepsilon_{\text{machine}}$ et $\rho \sim \kappa \varepsilon_{\text{machine}}$ (où κ conditionnement Φ)

Influence des erreurs d'arrondi (2)

Pour une méthode stable et $N = \lceil T/\Delta t \rceil$ pas de temps (Δt fixé), l'**erreur d'arrondi globale** est

$$\begin{aligned} \max_{0 \leq n \leq N} \|\tilde{y}^n - y^n\| &\leq M \left(\|\delta y^0\| + \sum_{n=0}^{N-1} \|\sigma_n\| + \Delta t_n \|\rho_n\| \right) \\ &\leq M \left(\|\delta y^0\| + \frac{T\sigma}{\Delta t} + T\rho \right) \end{aligned}$$

- **Erreur totale** = erreur arrondi totale + erreur approximation $C_T \Delta t^p$.

Pas de temps donnant la précision maximale

$$\Delta t_{\text{opt}} = \left(\frac{T\sigma}{pC_T} \right)^{1/(p+1)}$$

- On peut vérifier ce résultat numériquement sur $\dot{y} = y$ **[DEMO]**

Contrôle du pas d'intégration (analyse *a posteriori*)

- Fixer erreur totale $\max_{0 \leq n \leq N} \|y^n - y(t_n)\| \leq S \sum_{n=0}^{N-1} \|e(t_n, y(t_n); t_{n+1})\| \leq \varepsilon$

- Augmentation ou réduction **prudente** de Δt_n pour que

$$\|e(t_n, y(t_n); t_{n+1})\| \leq \eta \varepsilon \frac{\Delta t_n}{T}$$

- Utilise une **estimation *a posteriori*** de l'erreur de troncature (estimation *a priori* compliquée car demande le calcul de dérivées de f)
- Approches générales : méthode avec **deux pas de temps différents** (Δt_n et $\Delta t_n/2$), méthodes de Runge-Kutta **emboîtées**
- Cas particulier : schéma d'Euler explicite

$$\frac{\|e(t_n, y(t_n); t_{n+1})\|}{\Delta t_n} \simeq \frac{\|f(t_{n+1}, y^{n+1}) - f(t_n, y^n)\|}{2}$$

Analyse *a priori* rétrograde (1)

- Philosophie : la solution numérique...
 - est une solution **approchée de la dynamique exacte**
 - est la solution **exacte d'une dynamique modifiée** : $y^n = z(t_n)$

Dynamique modifiée (cas autonome, pas constant)

$$\dot{z} = f_{\Delta t}(z) = f(z) + \Delta t F_1(z) + \Delta t^2 F_2(z) + \dots, \quad z(0) = y^0$$

- Développement limité de la solution exacte de la dynamique modifiée

$$z(\Delta t) = z(0) + \Delta t \dot{z}(0) + \frac{\Delta t^2}{2} \ddot{z}(0) + \dots$$

avec $\dot{z}(0) = f(z(0)) + \Delta t F_1(z(0)) + O(\Delta t^2)$ et

$$\ddot{z}(0) = \partial_z f_{\Delta t}(z(0)) \cdot \dot{z}(0) = \partial_z f(z(0)) \cdot f(z(0)) + O(\Delta t)$$

Analyse *a priori* rétrograde (2)

- Cas de la méthode d'Euler explicite : $y^1 = y^0 + \Delta t f(y^0)$

Dynamique modifiée à l'ordre 2

$$z(\Delta t) = y^0 + \Delta t f(y^0) + \Delta t^2 \left(F_1(y^0) + \frac{1}{2} \partial_z f(y^0) f(y^0) \right) + O(\Delta t^3)$$

- Avec le choix $F_1(z) = -\frac{1}{2} \partial_z f(z) f(z)$ on a donc

$$\|y^1 - z(\Delta t)\| = O(\Delta t^3)$$

au lieu de $\|y^1 - y(\Delta t)\| = O(\Delta t^2)$

- On peut itérer l'argument (formellement) : propriétés du schéma numérique déduites des **propriétés de $\dot{z} = f_{\Delta t}(z)$**

- Exemple : $\dot{y} = y^2$, solution $y(t) = y^0/(1 - ty^0)$ et $\dot{z}(t) = z^2 \pm \Delta t z^3$ pour les schémas d'Euler

Conclusion : retour au début

- Etude du **problème continu** (“bien posé”)
- Approximation **numérique** par méthodes à un pas
 - Exemples et mise en oeuvre
 - Analyse *a priori* directe : convergence (consistance + stabilité)
- Compléments
 - Systèmes **linéaires**
 - Influence des **erreurs d'arrondi**
 - **Pas de temps adaptatif** (analyse a posteriori)
 - **Analyse rétrograde**
- **A vous de jouer !** (notamment en TP... et voici quelques instructions pour bien démarrer, et des images de simulation)